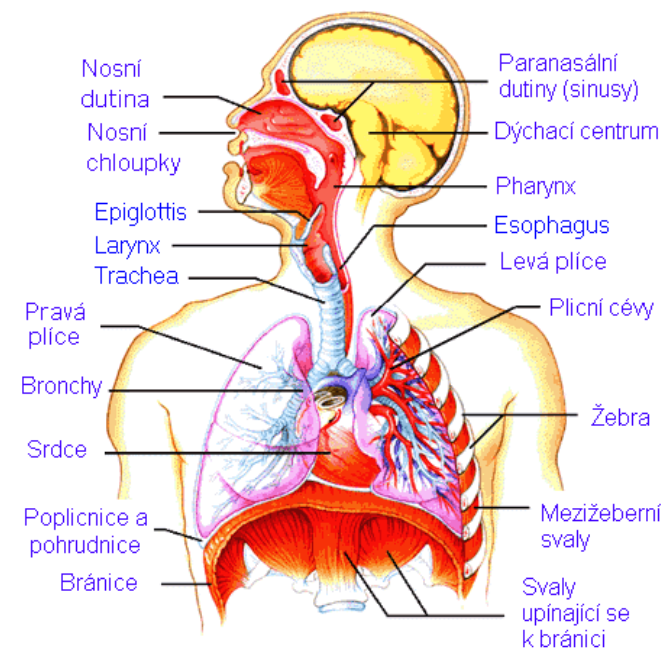


# Přednášky z lékařské biofyziky

## Biofyzika dýchání. Spirometrie



# Obsah přednášky

Mechanismus výměny plynů mezi organismem a okolím (dýchací pohyby – mechanika dýchání, difuze a rozpouštění plynů)

Dechové objemy a kapacity

Dechový odpor

Dechová práce

Spirometrie

Některé biofyzikální aspekty dýchání

# Ventilační pohyby

Účastní se především mezižeberní svaly a bránice.

Dýchání hrudní (převažuje u žen) a břišní (převažuje u mužů).

# Difuze O<sub>2</sub> a CO<sub>2</sub> v plazmě

<b>Bunsenovy koeficienty rozpustnosti (<math>\alpha</math>) pro plyny v krvi o tělesné teplotě. Jednotkou rozpustnosti je (ml plynu při standardní teplotě a tlaku)*(ml krve)<sup>-1</sup> *(101,3 kPa)<sup>-1</sup></b>	
CO <sub>2</sub>	0,52
CO	0,018
N <sub>2</sub>	(Voda: 0,013; Tuk: 0,065)
O <sub>2</sub>	0,022

Molekulové hmotnosti:

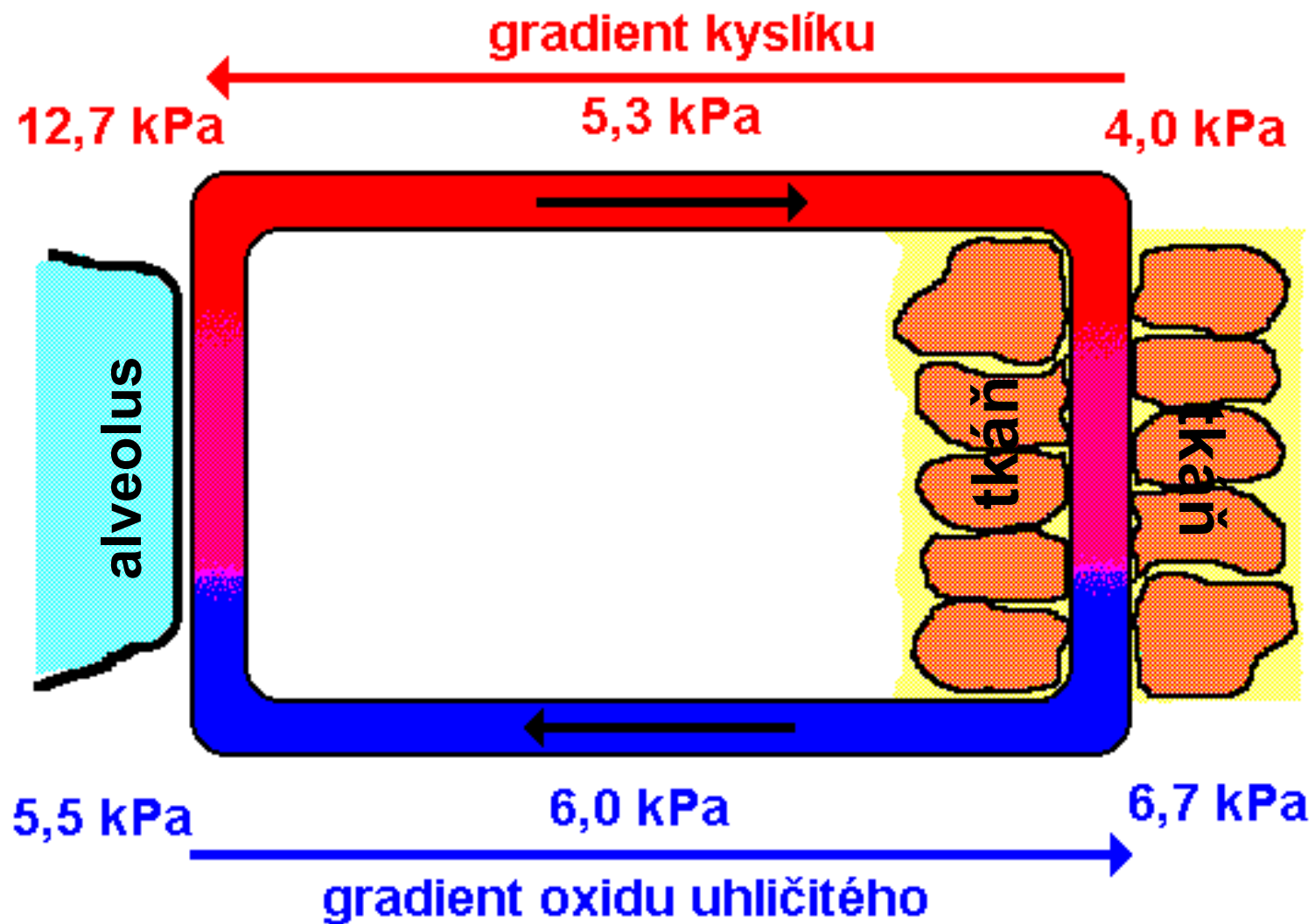
$$M_{\text{O}_2} = 32$$

$$M_{\text{CO}_2} = 44$$

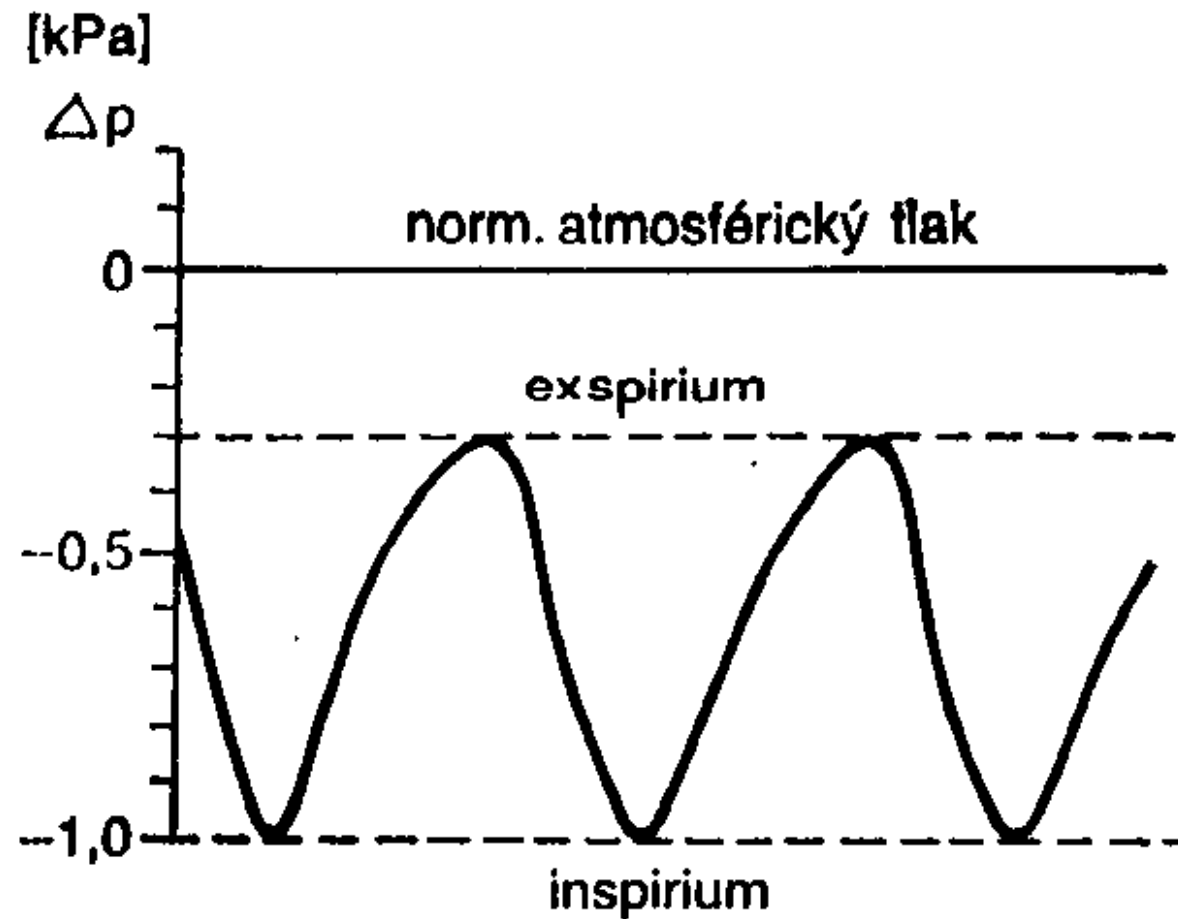
# Výměna plynů

Prostředí	Druh transportu	pO <sub>2</sub> (kPa)	pCO <sub>2</sub> (kPa)
alveoly	proudění	<b>13,3</b>	<b>5,2</b>
alveolo-kapilární stěna	difuze	-	-
Krevní oběh: tepny žíly	proudění	<b>12,7</b> <b>5,3</b>	<b>5,5</b> <b>6,0</b>
Kapilární stěna, buněčná membrána	difuze	-	-
Buňka	difuze	<b>4,0</b>	<b>6,7</b>

# Výměna dýchacích plynů

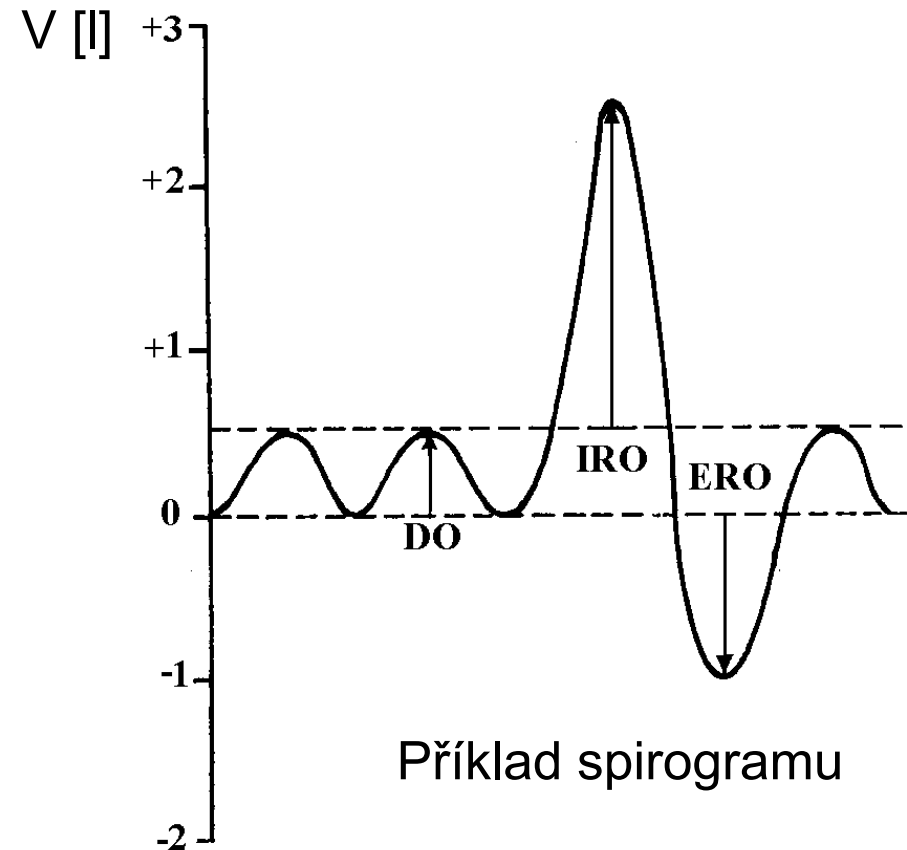


# Změny negativního nitrohručního tlaku během dýchání



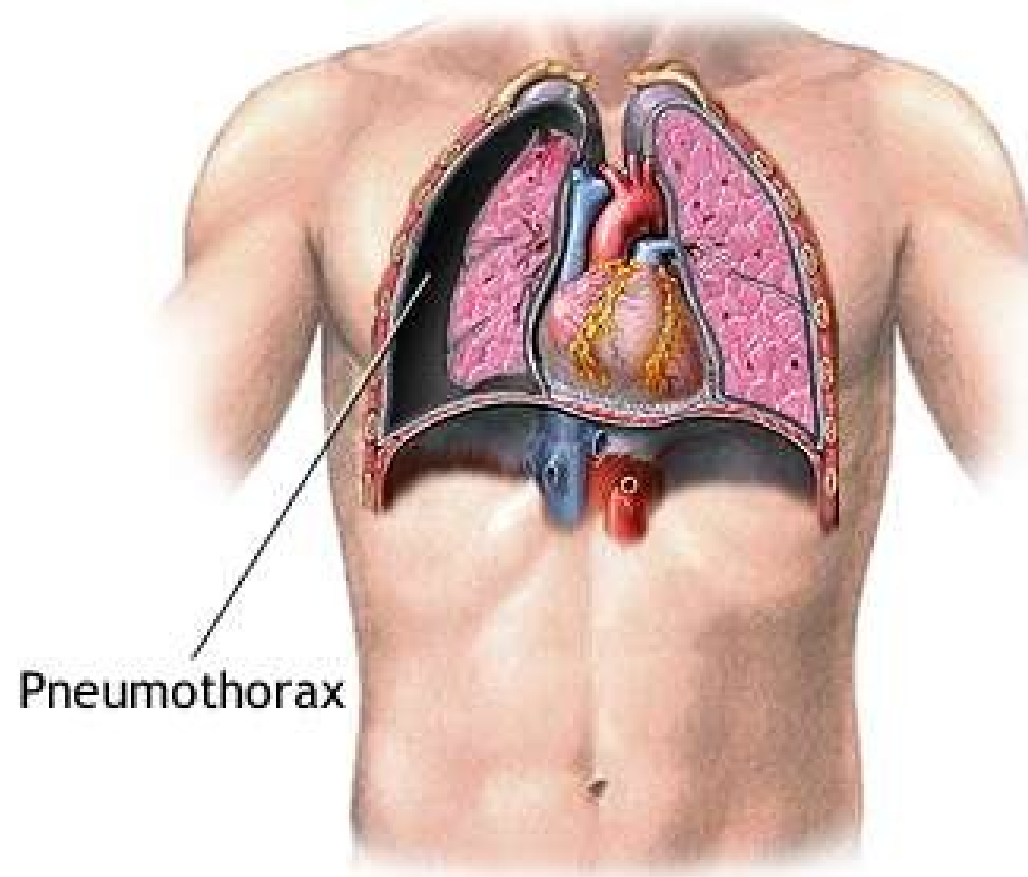
# Dechové objemy a kapacity

- vzduch v dýchacích trubicích - mrtvý prostor - 150 ml
- reziduální objem vzduchu v alveolech - RO - 1 l
- expirační rezervní objem - ERO - 1,5 l
- (klidový) dechový objem - DO - 0,5 l
- inspirační rezervní objem - IRO - 2,5 l
- vitální kapacita  $VK = ERO + DO + IRO$
- funkční reziduální kapacita  $FRK = RO + ERO$
- Mírou ventilace plic je minutový objem  $MO = DO \cdot f$





# Pneumothorax



[http://www.pennhealth.com/health/health\\_info/Surgery/graphics/Pneumothorax\\_2.jpg](http://www.pennhealth.com/health/health_info/Surgery/graphics/Pneumothorax_2.jpg)

# Dýchací odpory

**Elastický odpor** plic a hrudníku - dán napětím elastických vláken v plicní tkáni, podobný vliv má **povrchové napětí alveolů**.

**Neelastický odpor** tkání (též tkáňový viskózní odpor). Vzniká třením plicní tkáně, hrudníku, dýchacích svalů a orgánů dutiny hrudní.

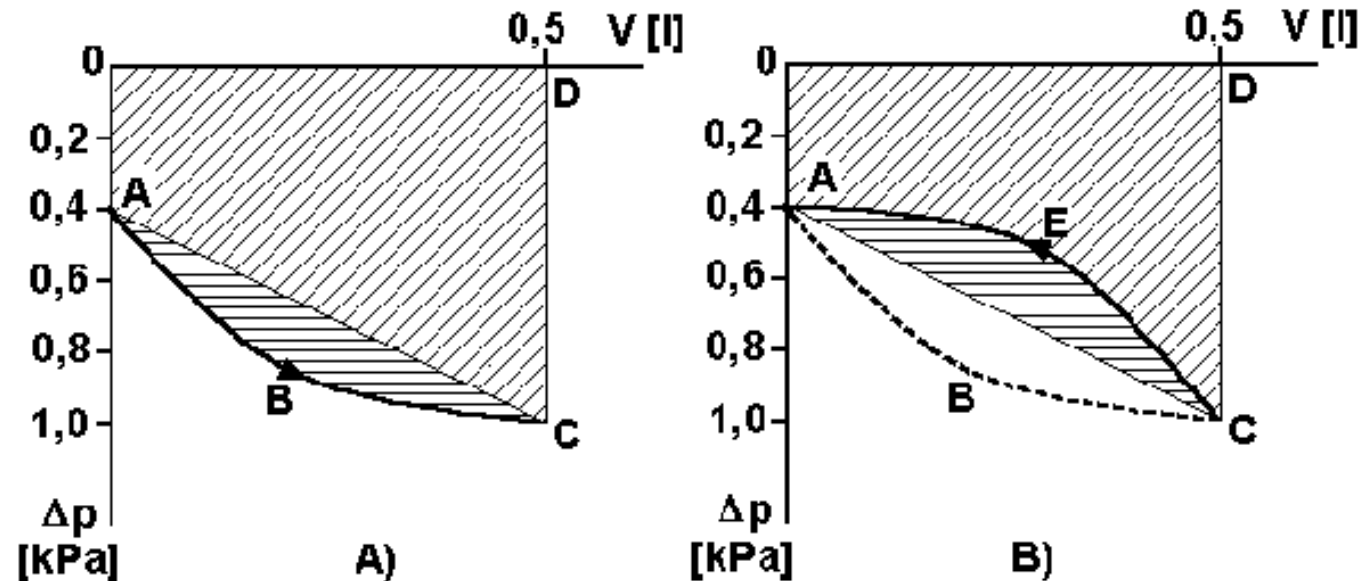
**Proudový odpor** dýchacích cest - komplex odporů, které kladou vzdušnému proudu dýchací cesty – příčinou je viskozita vzduchu a turbulence, k nimž dochází i místech větvení dýchacích cest.

# Dýchací práce

a obrázek k zamyšlení

Při překonávání souhrnu dýchacích odporů platí:

$$W = p\Delta V \quad p \text{ je rozdíl tlaku nitrohrudního a nitroplicního}$$



Dýchací práce. A) - při nádechu, B) - při výdechu. Plocha 0ACD0 - elastická práce konaná na úkor energie organismu (při nádechu) nebo pružnými tkáněmi přeměnou potenciální energie (při výdechu). Plocha ABCA je při nádechu aktivní práci proti neelastickému odporu. Plocha ACEA je práci proti neelastickému odporu při výdechu, na úkor potenciální energie nahromaděné při nádechu (podle Pilewského).

# Výpočty dýchací práce

**při klidovém dýchání:**

minutový objem MO = 7 l

dechová frekvence DF = 14 min<sup>-1</sup>

tlak p: 0,7 kPa

dechový objem V: 0,5 l (5·10<sup>-4</sup> m<sup>3</sup>)

práce W = 0,35 J - pro jeden vdech

294 J - za 1 hodinu



**při velké zátěži:**

MO = 200 l

DF 100 min<sup>-1</sup>

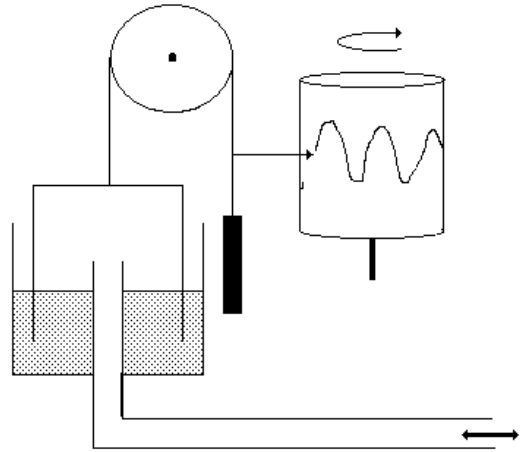
p = 0,7 kPa

V = 2 l (2·10<sup>-3</sup> m<sup>3</sup>)

W = 1,4 J - pro jeden vdech

8400 J - za 1 hodinu

# Měření dechových objemů - spirometrie

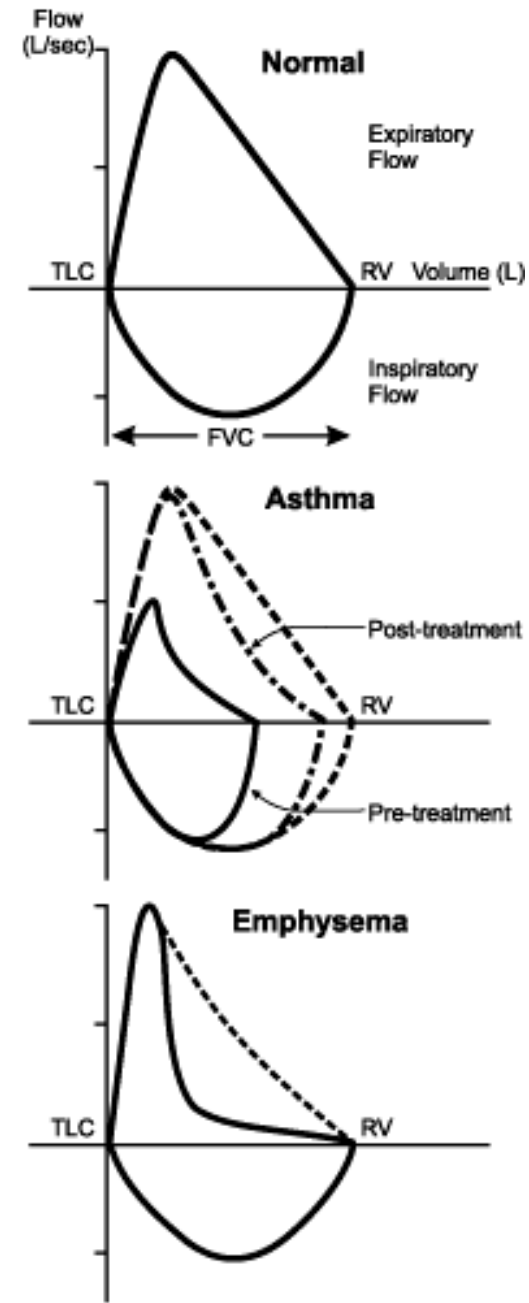


# Spirogram

Měříme  
závislost  
objemu na  
čase

nebo

velikosti toku  
na dechovém  
objemu



# Další biofyzikální aspekty dýchání

Projevy fyzikálních vlastností plic v některých oblastech diagnostiky a terapie:

- největší plocha kontaktu s vnějším prostředím
- možnost ovlivnění funkcí organismu prostřednictvím dýchání (hyperventilace)
- rušivý vliv dýchacích pohybů na diagnostické obrazy
- negativní kontrast při rtg. vyšetřeních
- rizika v UZ diagnostice a při litotrypsi

Autor:  
**Vojtěch Mornstein**

Obsahová spolupráce:  
**C.J. Caruana, I. Hrazdira**

Poslední revize: září 2024